

## ИЗОТОПНЫЕ ЭФФЕКТЫ ПРИ ТЕХНОГЕННЫХ ВОЗДЕЙСТВИЯХ НА ПОВЕРХНОСТЬ ТВЕРДЫХ ТЕЛ. Часть 1

Н.Н. Никитенков, И.П. Чернов, Ю.И. Тюрин, Л.Н. Пучкарева

Томский политехнический университет

E-mail: nikitenkov@fnsm.tpu.edu.ru

*Приведен обзор результатов исследований и новые экспериментальные данные авторов по изменениям изотопного состава в приповерхностных слоях твердых тел в процессах ионного распыления, ионного рассеяния, вторичной ионной эмиссии, ионной имплантации, электролизного насыщения изотопами водорода, термодиффузии из внешнего источника. Во всех перечисленных процессах наблюдаются заметные изменения естественных изотопных распространенностей, как в составе приповерхностных слоев, так и в составе вторичных (эмитированных, отраженных) частиц. Исследования выполнены методом вторичной ионной масс-спектрометрии и энерго-масс-спектрометрии вторичных ионов на образцах молибдена, никеля имплантированного медью, на различных модификациях титана, на тонкопленочных системах титан-алюминий и других. Выявлены общие закономерности в изменениях изотопного состава в различных процессах. Обсуждаются возможные механизмы этих изменений.*

### Введение

В статье выполнен обзор опубликованных в последние годы работ и приведены новые экспериментальные данные по изменениям изотопного состава в приповерхностных слоях твердых тел в ходе ионного распыления, отражения ионов от поверхности, вторичной ионной эмиссии, ионной имплантации, электролизного насыщения изотопами водорода, термодиффузии из внешнего источника. Такие исследования обусловлены потребностью материаловедения, энергетики и других прикладных отраслей знаний, использующих технологии модификации приповерхностных слоев, и занимающихся изучением механизмов миграции атомов, трансформации изотопного состава при различных воздействиях на поверхность. Эти исследования представляют и академический интерес как примеры модельных объектов неравновесных физических систем.

Изменения изотопного состава в ионных пучках и приповерхностных слоях твердых тел изучались во многих работах по ионному распылению и вторичной ионной эмиссии [1–10], по рассеянию ионов от поверхности [11, 12], при водородном насыщении и термодиффузии из внешнего источника [13–20], при ионной имплантации [21–23]. В этих явлениях важно выявить основные процессы, обуславливающие изменения изотопного состава в приповерхностных слоях твердых тел.

### Экспериментальные результаты и обсуждение

1. Изотопные эффекты при ионном распылении и во вторичной ионной эмиссии

Первыми работами, в которых исследовался изотопный эффект (ИЭ) во вторичной ионной эмиссии (ВИЭ), являются, по-видимому, работы авторов [1], хотя обнаружение предпочтительного распыления (preferential sputtering), то есть изотопного эффекта в распылении относят к 1977 году (см. [2] и библиографию этой работы). В [1] обнаружено, что в ВИЭ ряда минералов, металлов, ок-

сида меди и сплава GaAl ионами кислорода отношение выхода ионов легкого изотопа к тяжелому в энергетическом диапазоне 0...20 эВ выше соответствующего стандартного отношения распространенностей изотопов. Наблюдается обогащение "облака" распыленных ионизованных частиц легкими изотопами. Степень обогащения зависит от атомного номера элемента, от матрицы, в которой элемент находится, и скорости ионов.

Практически одновременно с работами [1, 2] появилась работа [3], где исследовано пространственное и энергетическое распределения величины измеряемого в ВИЭ изотопного отношения. Работа [3] подтвердила выводы работ [1] относительно обогащенности ВИЭ легкими изотопами и зависимости изотопного отношения вторичных ионов одного и того же элемента от их энергии. Авторами [3] подробно исследовались для ряда чистых металлов зависимости  $f_{LH}(E) = N^+_{LH}(E)/N^+_{HH}(E)$ , где  $N^+_{LH}(E)$  и  $N^+_{HH}(E)$  – энергетические спектры вторичных ионов легкого и тяжелого изотопов. Было установлено, что в зависимости  $f_{LH}(E)$  в исследованном диапазоне энергий (от 0 до 80 эВ) имеется пик или плато при разных энергиях для разных металлов. Как правило, этот пик расположен в области низких энергий для легких элементов и смещен к высоким энергиям для тяжелых. Подробно вопрос о зависимости  $f_{LH}(E)$  в диапазоне  $E=4...30$  эВ изучался также в работе [4] с целью проверки предложенной в этой работе модели эффекта. В дальнейшем закономерности ИЭ в распылении и ВИЭ исследовались в [2, 4–7 и др.]. Для теоретического объяснения ИЭВИЭ в [1–7] сделано следующее. Привлечены известные формулы для вероятности ионизации (в работе [3]) и экспериментальная зависимость вероятности ионизации от скорости атома ( $v$ ) в виде  $\exp(-v_0/v)$ ,  $v_0$  – константа (в работах [2, 4]). Эффект изменения изотопного состава получается как следствие зависимости вероятности ионизации от массы атома. Это, однако, не объясняет физической сущности механизма эффекта. Целью наших исследований [9, 10] являлось экспериментальное изучение ИЭ ВИЭ и попытка углубления представлений о его механиз-

ме. Экспериментально изучены зависимости  $f_{LH}(E)$  для металлов, круг которых частично перекрывается с теми, что исследовались в [1, 3–7]. Получено качественное подтверждение экспериментальных выводов указанных работ, хотя в количественном отношении для ряда металлов у нас наблюдался эффект превышающий величины, опубликованные ранее, как видно, например, из рис. 1.

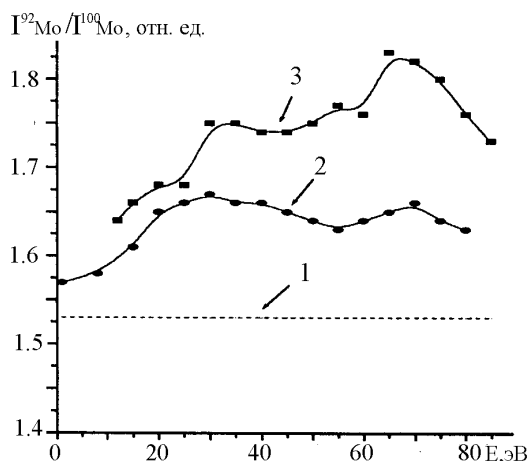


Рис. 1. Зависимость отношения интенсивностей массовых линий ионов изотопов молибдена  $^{92}\text{Mo}$  и  $^{100}\text{Mo}$  от их энергии: 1) стандартное изотопное отношение, 2) из работы [6], 3) наши измерения [9, 10]

Результаты наших измерений подтвердили сделанный ранее вывод о существовании пика или плато в зависимости  $f_{LH}(E)$ , однако, вывод о корреляции энергетического положения пика с массой элемента не подтвердился. Вместе с тем, действительно наблюдается уменьшение максимального значения отношения  $f_{LH}(E)$  к стандартному значению отношения распространенностей при уменьшении массы элемента. Кроме того, для изотопов одного элемента, справедливо следующее утверждение: чем больше разница количества нейтронов в ядрах, тем больше величина ИЭ в ВИЭ.

Из установленных к настоящему времени закономерностей наиболее надежными являются следующие: большая вероятность ионизации атома легкого изотопа по сравнению с тяжелым и обратная зависимость величины эффекта от массы в ряду элементов. Последняя закономерность, очевидно, коррелирует с относительным изменением массы и объема ядра при одинаковой величине дефицита или излишка нейтронов в ядрах при переходе от легких элементов к тяжелым. Данное обстоятельство указывает, что ИЭ ВИЭ связан с различиями строения электронных оболочек атомов-изотопов. Различия в строении электронных оболочек обусловлено изотопическим смещением (ИС) энергетических уровней электронов в атомах. ИС в основном зависит от двух факторов: конечности массы и пространственной протяженности ядра.

ИС электронных уровней, связанное пространственной протяженностью ядра обусловлено тем, что волновая функция внешнего  $s$ -электрона пе-

рекрывается с волновыми функциями ядра. В этом случае сравнительно велика вероятность нахождения электрона в области пространства, занимаемой ядром (т.е. в объеме ядра) [24, 25]. Пространственная протяженность ядер характеризуется среднеквадратичным (протонным) радиусом ядра  $\langle r^2 \rangle$ . Величина протонного радиуса зависит от количества нейтронов в ядре (см. рис. 2). Следовательно, от изотопа к изотопу для одного и того же элемента варьируется перекрытие волновых функций внешних электронов и ядер. Таким образом, размеры ядер-изотопов через волновую функцию внешнего электрона влияют на величину 1-го потенциала ионизации атома, а следовательно и на вероятность ионизации атома при распылении. Это влияние может проявляться через различия: 1) величин потенциалов ионизации, 2) длины взаимодействия ( $\gamma$ ) атомов с поверхностью при отлете, изменяющихся вследствие неодинаковых величин  $\langle r^2 \rangle$  для ядер-изотопов, поскольку  $\gamma \sim a \sim \langle r^2 \rangle$ , где  $a$  — радиус атома.

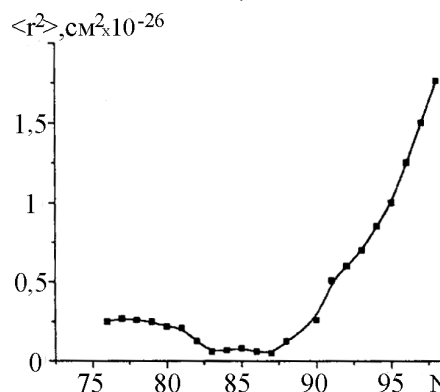


Рис. 2. Зависимость среднеквадратичного радиуса ядра от числа нейтронов для изотопов рубидия [26]

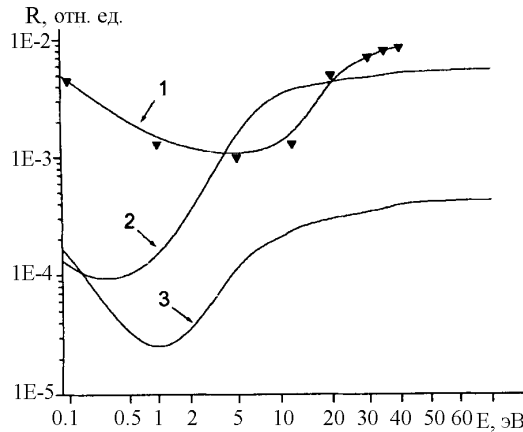
Наблюдаемые изотопические сдвиги частот спектральных линий некоторых оптических переходов достигают  $10^{-5} \dots 10^{-4}$  эВ [24]. Энергии ионизации ( $I$ ) атомов-изотопов должны различаться на величину ИС, наблюдаемых в оптике. Вероятность ионизации в ВИЭ экспоненциально зависит от  $I$ . Это позволяет оценить относительную разницу вероятностей ионизации атомов-изотопов. В соответствии с [26] вероятность ионизации  $R^+$  определяется соотношением:

$$R^+(E) \sim E^n \cdot \exp \left[ -\frac{(I - \varphi) \cdot c}{E^{1/2}} \right], \quad (1)$$

где  $E$  — кинетическая энергия иона,  $I$  — потенциал ионизации атома,  $\varphi$  — работа выхода электрона,  $c = \pi/2\gamma\hbar$ ,  $\hbar$  — постоянная Планка;  $n = \gamma_a\delta/4\gamma kT_s$ ,  $\gamma_a = a_p/v$ ,  $a_p$  — величина порядка постоянной решетки,  $v$  — скорость отлетающего атома,  $\delta$  — константа,  $k$  — постоянная Больцмана;  $T_s$  — температура электронной подсистемы в области развития каскада;  $1/\gamma_a$  — длина взаимодействия между отлетающим атомом и поверхностью. На основании (1), величина относительной разности вероятностей ионизации двух атомов, различающихся потенциалами ионизации на величину  $\Delta I$  и длиной взаимодействия на величину  $\Delta\lambda = \Delta(1/\gamma_a)$ , равна:

$$R(E) = \frac{R_1^+ - R_2^+}{R_2^+} = \frac{R_1^+}{R_2^+} - 1 = E^{(\Delta\lambda)\kappa_1} \cdot \exp\left[\frac{\Delta I \cdot \kappa_2}{E^{1/2}}\right] - 1, \quad (2)$$

где  $\kappa_1$  и  $\kappa_2$  – константы размерности (ниже при расчетах полагалось  $\kappa_1 = \kappa_2 = 1$ ).



**Рис. 3.** Сравнение расчетных и экспериментальных зависимостей относительных вероятностей ионизации изотопов вторичных ионов от их энергии: 1) экспериментальные данные, обработанные в соответствии с (4); 2) и 3) расчет, соответственно, по формулам (2) и (3)

На рис. 3 представлены теоретические кривые  $R(E)$ , рассчитанные по (2) – кривая 2, а также по формуле (кривая 3):

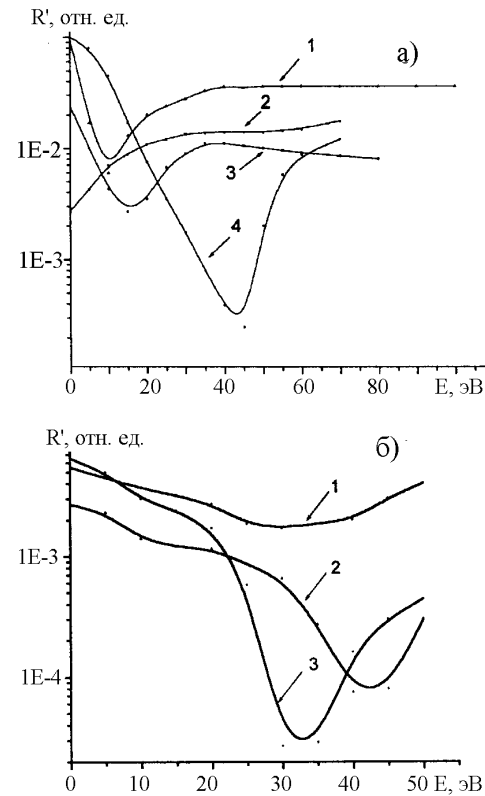
$$R(E) = \frac{\Delta R^+}{R^+} = E^{\Delta\lambda} - 1. \quad (3)$$

При расчетах полагалось, что  $\kappa_1 \cdot \Delta\gamma \approx \kappa_2 \cdot \Delta I \approx 10^{-4}$ . Кроме того, на рис. 3 (кривая 1) представлена измеренная экспериментально для изотопов серебра  $^{107}\text{Ag}$  и  $^{109}\text{Ag}$  величина

$$R'(E) = \frac{\Delta M}{M} \cdot \left| \frac{R_{\text{эксп.}}}{R_{\text{ст.}}} - 1 \right|, \quad (4)$$

где  $R_{\text{эксп.}} = I^+ L(E) / I_{\text{и}}^+(E)$ ,  $I_i^+$  ( $i=L, H$ ) – интенсивности массовых линий изотопов в соответствующих энергетических спектрах,  $R_{\text{ст.}}$  – стандартное отношение изотопных распространенностей,  $\Delta M/M$  – относительная разность масс изотопов. Формула (3) получена аналогично (2) с использованием зависимости  $R^+ \sim E^n$  вместо (1). Такие зависимости также получены в ряде моделей ионизации вторичных атомов. Таким образом, кривые 2 и 3 рис. 3 характеризуют проявление в ИЭ ВИЭ двух процессов, один из которых описывается степенной, а другой экспоненциальной функцией, а кривая 1, возможно, характеризует суперпозицию этих процессов. На рис. 4 представлены зависимости величин  $R'(E)$  (4) для ряда элементов, полученные в наших экспериментах и построенных по результатам работы [6]. Сравнение рис. 3 и рис. 4 показывает, что форма каждой из экспериментальных кривых в основных своих чертах соответствует одной из теоретических кривых. Различия в положении острых минимумов на экспериментальных и теоретических кривых можно объяснить, во-первых, экспериментальными погрешностями, основная из кото-

рых связана с использованием энергоанализаторов с относительно широким энергетическим окном ( $\sim 1$  эВ), во-вторых, недостаточной обоснованностью использованных при расчетах величин  $\Delta\lambda = \Delta(1/\gamma_0) = 10^{-4}$ . Абсолютные значения сравниваемых экспериментальных и теоретических величин совпадают лишь в области энергий  $10^{-4} \dots 10^{-2}$  эВ.



**Рис. 4.** Экспериментальные зависимости  $(R_{\text{эксп.}}/R_{\text{ст.}}) - 1$  от энергии вторичных ионов: а) по результатам наших измерений для изотопов: 1)  $^{24}\text{Mg}$  и  $^{26}\text{Mg}$ , 2)  $^{92}\text{Mo}$  и  $^{94}\text{Mo}$ , 3)  $^{50}\text{Cr}$  и  $^{52}\text{Cr}$ , 4)  $^{114}\text{Sn}$  и  $^{116}\text{Sn}$ ; б) по результатам работы [6] для изотопов: 1)  $\text{Sr}^{28}$  и  $\text{Sr}^{90}$ , 2)  $\text{Cr}^{60}$  и  $\text{Cr}^{52}$ , 3)  $\text{Mg}^{24}$  и  $\text{Mg}^{26}$

Проведенное сопоставление теории и эксперимента, несмотря на значительные расхождения в положении особенностей кривых по шкале энергий, указывает на возможность резонанса в зависимости  $R'(E)$  для атомов в области энергий  $0 \dots 10^{-2}$  эВ.

## 2. Изотопные эффекты при отражении ионных пучков

Изотопные эффекты в потоке обратно рассеянных от поверхностей металлов ионов изучены в основном для пар ионов  $^3\text{He}^+ - ^4\text{He}^+$  и  $^{20}\text{Ne}^+ - ^{22}\text{Ne}^+$  [11, 12]. Исследования проводились методом двойной спектроскопии ионного рассеяния (ДСИР). В ДСИР компоненты указанных пар присутствуют в первичном пучке в равных концентрациях. Использовался также метод поочередного напуска в разрядную камеру ионного источника указанных изотопов. Энергия первичных ионов варьировалась от  $\sim 200$  до  $\sim 3000$  эВ, плотности тока  $\sim 0,1 \dots 500$  нА, углы падения и углы отражения – от нормальных до скользящих. На рис. 5 представлены сводные данные из работы [12] по изотопному эффекту для пары

ионов  ${}^3\text{He}^+ - {}^4\text{He}^+$ . Выход рассеяния ( $Y$ ) на данном рисунке дан в произвольных единицах, хотя относительные разности интенсивностей пар  ${}^3\text{He}^+ - {}^4\text{He}^+$  для каждого из металлов соответствуют эксперименту. Начала осей абсцисс для каждого из металлов (Zn, Pb, In, Sn) показаны чертой под соответствующим символом. По оси абсцисс отложены обратные скорости ( $1/v = m/2Ve$ ,  $m$  и  $e$  – масса и заряд иона,  $V$  – ускоряющий потенциал). Хорошо развитая структура максимумов на кривых ДСИР, для случаев Pb, In и Sn на рис. 5, объяснена в [27] как результат конкуренции между ростом сечения рассеяния и вероятности нейтрализации, по мере уменьшения энергии пучка. В области низких значений обратной скорости для всех комбинаций ион-мишень ток рассеянных ионов  ${}^3\text{He}^+$  выше, чем ток  ${}^4\text{He}^+$ . Это ожидаемо, легкие бомбардирующие частицы имеют большее сечение рассеяния по сравнению с тяжелыми при прочих равных условиях (например, силовое поле, вероятность нейтрализации). При высоких значениях обратной скорости имеется тенденция к тому, что ток рассеянных ионов  ${}^4\text{He}^+$  превышает ток рассеянных ионов  ${}^3\text{He}^+$  для всех изученных систем. Это возможно, если при низких энергиях ионы  ${}^4\text{He}^+$  нейтрализуются с гораздо меньшей вероятностью по сравнению с  ${}^3\text{He}^+$ . Очевидное различие между этими двумя изотопами, имеющими одну и ту же скорость, состоит в различии их импульсов, которое, в свою очередь, создает небольшие различия (намного меньше 1 ед. Бора) в их траекториях столкновения. Поскольку считается, что основные процессы нейтрализации (оже-нейтрализация и резонансная туннельная нейтрализация) происходят сравнительно далеко от поверхности (около 4 ед. Бора), трудно понять, как такие малые различия траекторий могут влиять на относительную вероятность нейтрализации ионов изотопов.

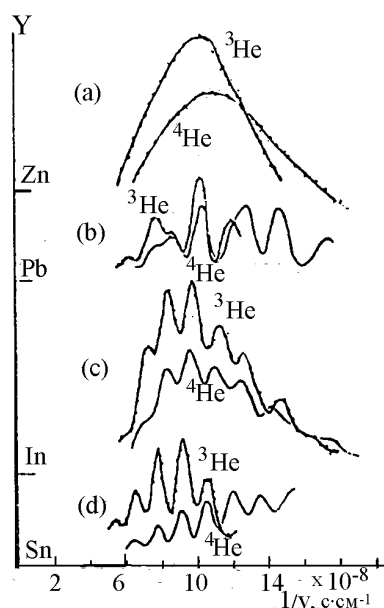


Рис. 5. Зависимость выхода упругого рассеяния ионов  ${}^3\text{He}^+$  и  ${}^4\text{He}^+$   $Y$  от их обратной скорости для поверхностей цинка, свинца, индия и олова; угол рассеяния –  $90^\circ$  [12]

Отметим также, что более тяжелые ионы, вызывают более сильное модифицирование поверхности в результате имплантации, поверхностного травления и очистки. Однако, эти процессы не дают приемлемого объяснения характера кривых ДСИР при низких энергиях.

Осцилляции кривых ДСИР рис. 5 для ионов гелия, рассеиваемых на поверхности свинца, индия и олова, были приписаны [28] квазирезонансному электронному переносу. При рассмотрении этих кривых можно заметить, что положение максимумов и минимумов при рассеянии  ${}^3\text{He}^+$  и  ${}^4\text{He}^+$  на одной и той же поверхности соответствуют приблизительно одним и тем же значениям обратной скорости [28]. Более детальное рассмотрение показывает, что в действительности в области низких энергий наблюдаются значительные смещения в положениях максимумов и минимумов. В случае бомбардировки поверхности свинца (рис. 5, в) изотопный сдвиг пика при значении обратной скорости около  $12 \cdot 10^8$  с/см согласуется с данными по исследованию угловых распределений [29]. То есть, увеличение угла рассеяния при постоянстве энергии и массы бомбардирующей частицы оказывает такое же влияние, что и увеличение ее массы при постоянстве скорости и угла рассеяния. В обоих случаях уменьшается расстояние наибольшего сближения. Интересно отметить, что сдвиги низкоэнергетического пика для индия и олова (рис. 5, с, d) имеют другой знак по сравнению со сдвигами для свинца.

Из рис. 5 также видно, что высоты пиков, для  ${}^3\text{He}^+$  и  ${}^4\text{He}^+$  не идентичны и не пропорциональны друг другу. Некоторые различия высот пиков в низкоэнергетических спектрах от олова, вероятно, обусловлены различиями общей формы кривых. Наиболее отчетливо это демонстрируют неосциллирующие данные для цинка (рис. 5, а). В целом кривые имеют форму параболы с синусоидальной модуляцией. Исключением из этого правила является кривая рассеяния ионов  ${}^3\text{He}^+$  от Pb, имеющая небольшой пик при значении обратной скорости около  $8,5 \cdot 10^8$  с/см, связанный, по-видимому, с квазирезонансным электронным переносом. Количественно, токи отраженных ионов легких изотопов могут в случае  ${}^3\text{He}^+$  и  ${}^4\text{He}^+$  примерно в 2 раза превышать токи тяжелых изотопов. В случае  ${}^{20}\text{Ne}^+$  и  ${}^{22}\text{Ne}^+$  это превышение составляет около 20 %. То есть, чем тяжелее элемент, тем меньше величина эффекта. Это коррелирует с величиной относительной разности масс изотопов (как и в случае ИЭ в ВИЭ, см. выше).

### 3. Изотопные эффекты при ионной имплантации

Результаты наших исследований изменения изотопного состава меди, имплантированной в никель, опубликованы в [21–23]. Ионную имплантацию меди в поликристаллический никель со средним размером зерна около 20 мкм проводили на имплантере "Диана-2" [30], оснащенном вакуумно-дуговым ионным источником, работающим в импульсно-периодическом режиме с длительностью импульса

150...200 мкс и частотой следования 50 Гц. Имплантация осуществлялась при давлении  $\sim 6 \cdot 10^{-3}$  и  $4 \cdot 10^{-2}$  Па с плотностью ионного тока в импульсе  $125 \text{ мкА} \cdot \text{см}^{-2}$  и средней плотностью тока на мишени порядка  $1 \text{ мкА} \cdot \text{см}^{-2}$ . Дозы имплантации —  $2 \cdot 10^{16}$  и  $2 \cdot 10^{17}$  ион $\cdot \text{см}^{-2}$ , разница во времени между набором указанных доз около 6 ч. Ионы ускорялись в поле 50 кВ. Образцы никеля, предварительно электрохимически полированные, укреплялись металлическим держателем так, чтобы обеспечивался плотный контакт с поверхностью металлической подложки. Температура образца в процессе имплантации не превышала  $50^\circ \text{C}$ . На рис. 6 приведены профили распределения изотопов меди  $^{65}\text{Cu}$  и  $^{63}\text{Cu}$  по глубине образца никеля и суммарный  $^{65}\text{Cu} + ^{63}\text{Cu}$  профиль после имплантации дозой  $2 \cdot 10^{17}$  ион $\cdot \text{см}^{-2}$  при давлении  $6 \cdot 10^{-3}$  Па. Видно, что характер распределения изотопов различен: спадающая кривая для изотопа  $^{65}\text{Cu}$ , и нарастающая — для изотопа  $^{63}\text{Cu}$ , т.е. в поверхностном слое, примерно до 100 нм происходит накопление изотопа  $^{65}\text{Cu}$ . И только после выхода на максимум интенсивности линии изотопа  $^{63}\text{Cu}$  начинается выравнивание изотопного состава, приближаясь к их природному соотношению на глубине 250 нм. Для большей наглядности по данным рис. 6 на рис. 7 представлены отклонения концентраций ( $C_i$ ) изотопов меди по глубине, рассчитанные как  $C_i = I_i / \Sigma I_i$  ( $i$  — изотоп,  $I$  — интенсивность), от их природных распространенностей ( $R_i$ ). Видно, что на глубине примерно 330 нм полученные значения распространенностей изотопов имплантированной меди совпадают с природными значениями. Максимальное отклонение от природной распространенности изотопов (около 54 %) наблюдается на поверхности. По данным рис. 6 и 7, выявляются 3 характерные области изменения изотопного состава: 1 — от 0 до 80...100 нм, 2 — от 100 до 250 нм, 3 — глубже 250 нм. Видно, что изменение изотопного состава наиболее значительно в приповерхностном слое. Здесь наблюдается нарастание концентрации имплантированных ионов с выходом на максимум на глубине  $\sim 100$  нм (рис. 6). Области резкого снижения концентрации имплантированной меди в слое 120...250 нм соответствует переход к природному соотношению распространенностей изотопов. И, наконец, диффузионному "хвосту" на профиле имплантированной меди соответствует область выравнивания изотопного состава с природным. Таким образом, максимальные нарушения изотопного состава происходят на участке наибольших потерь энергии имплантированных ионов и максимального накопления концентрации имплантированной меди.

На рис. 8 представлены кривые, аналогичные рис. 7, но для дозы  $2 \cdot 10^{16}$  ион $\cdot \text{см}^{-2}$ . Из сравнения рис. 7 и 8 видно, что характер послойного изменения изотопного состава с увеличением дозы не изменяется, но для более высокой дозы изменения изотопного состава распространяются на большую глубину. Это, возможно, связано с увеличением общей концентрации имплантированной меди и возрастанием ее концентрации на большей глубине в результате радиационно-стимулированной диффузии. Экспе-

римент был повторен при дозе ионной имплантации  $2 \cdot 10^{17}$  ион $\cdot \text{см}^{-2}$  при давлении  $\sim 4 \cdot 10^{-2}$  Па. В этом случае эффект трансформации изотопного состава меди качественно не изменяется, однако, обнаруживаются различия в форме профилей изотопов имплантированной меди (рис. 8). Они становятся более узкими, сгиваясь к поверхности образца.

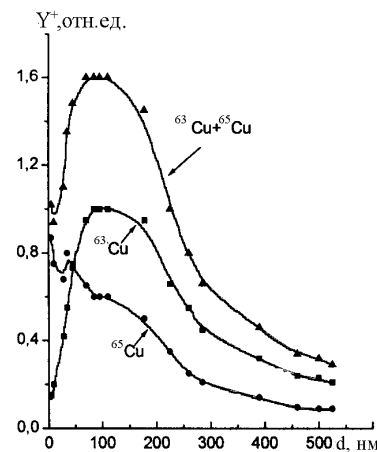


Рис. 6. Профили распределения изотопов  $^{65}\text{Cu}$  и  $^{63}\text{Cu}$  по глубине образца никеля и суммарный  $^{65}\text{Cu} + ^{63}\text{Cu}$  профиль

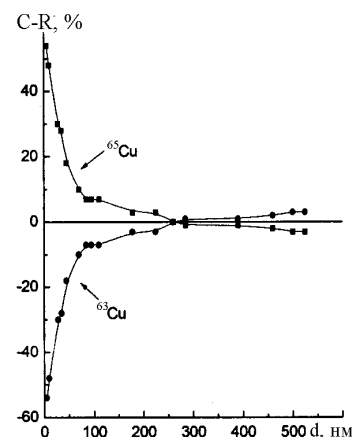


Рис. 7. Отклонения концентраций ( $C_i$ ) изотопов меди по глубине от их природных распространенностей ( $R_i$ )

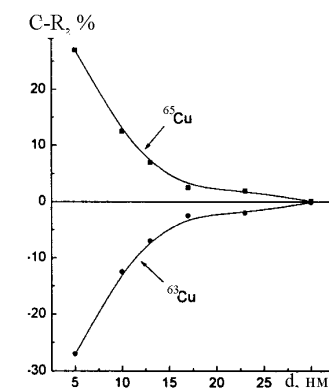


Рис. 8. Отклонения концентраций изотопов меди по глубине образца никеля от их природных распространенностей

Объяснение трансформации изотопного состава имплантированной меди невозможно в рамках

традиционных механизмов диффузии. Известно, что отношение коэффициентов диффузии изотопов обратно пропорционально корню квадратному из отношения их масс, т.е.  $\sim 1,02$ . Наблюдаемый эффект в несколько раз выше.

### Заключение

Представленные в первой части статьи экспериментальные результаты касаются лишь немногих техногенных воздействий на поверхность, приво-

дящих к изменению ее изотопного состава, а именно, процессов ионного распыления, рассеяния ионов от поверхности и ионной имплантации. Основная закономерность, наблюдаемая в этих процессах и относящаяся к изменению природного изотопного состава, связана с обогащением поверхности тяжелыми изотопами. Данная закономерность объясняется особенностями атомных столкновений и электронных взаимодействий в системе атом-поверхность.

### СПИСОК ЛИТЕРАТУРЫ

- Slodzian G., Lorin J.C., Havette A. Isotopic effect on the ionization probabilities in secondary ion emission // *J. Phys. Lett.* — 1980. — V. 41. — P. L555—L558.
- Lorin J.C., Havette A., Slodzian G. Isotopic effect on the ionization probabilities in secondary ion emission // *Secondary Ion Mass Spectr.: Abstr. of Conf.* — Berlin: Springer, 1982. — P. 140.
- Shapiro M.H., Haff P.K., Tombrello T.A., Harrison D.E. Simulation of isotopic mass effects in sputtering // *Nucl. Instr. and Meth. in Phys. Res.* — 1985. — V. B12. — P. 137—145.
- Gnaser H., Hutcheon J.D. Preferential emission of lighter isotopes in the initial stage of sputtering // *Surf. Sci.* — 1988. — V. 195. — P. 499—511.
- Gnaser H., Oechsner H. Isotopic mass effects in sputtering: dependence on fluence and emission angle // *Nucl. Instr. and Meth. in Phys. Res.* — 1990. — V. B48. — P. 544—548.
- Shimizu N., Hart S.R. Isotope fractionation in secondary ion mass spectrometry // *J. Appl. Phys.* — 1982. — V. 53(3). — P. 1303—1311.
- Gnaser H., Hutcheon J.D. Velocity-dependent isotope fractionation in secondary ion emission // *Phys. Rev. B.* — 1987. — V. 35. — № 1. — P. 877—879.
- Shwarz S.A. Measurement of the secondary ion mass spectrometry isotope effect // *J. Vac. Sci. Technol.* — 1987. — V. A5(3). — P. 308—312.
- Никитенков Н.Н., Косицын Л.Г., Маркова Н.М., Шулепов И.А. Изотопический эффект в энергетических спектрах ионизованной компоненты распыления // *Физика взаимодействия заряженных частиц с кристаллами: Тез. докл. XVIII Всес. совещ.* — М.: МГУ, 1987. — С. 110.
- Никитенков Н.Н., Косицын Л.Г., Маркова Н.М., Шулепов И.А. О изотопическом эффекте во вторичной ионной эмиссии // *Вторичная ионная и ионно-фотонная эмиссия: Тез. докл. Всес. семинара.* — Харьков: ХГУ, 1988. — Ч. 1. — С. 69—71.
- Helbig H.F., Orvek K.J. Isotope Effects in Elastic Ion-Surface Scattering;  $\text{He}^+$  and  $\text{Ne}^+$  on Solid and Liquid Ga // *Nucl. Instrum. and Meth.* — 1980. — V. 170. — P. 505.
- Helbig H.F., Adelman P.J. Isotope Effects in Ion-Scattering Double Spectroscopy // *J. Vac. Sci. and Techn.* — 1977. — V. 14. — P. 488—493.
- Чернов И.П., Никитенков Н.Н., Пучкарева Л.Н. и др. Изменение изотопного состава металлов при насыщении водородом // *Известия вузов. Физика.* — 1999. — № 4. — С. 61—65.
- Chernov I.P., Nikitenkov N.N., Puchkareva L.N., Kolobov Yu.R. Change Isotopic Composition of Metals at Deuterium Charge // *Cold Fusion (ICCF-7): Proc. of the 7<sup>th</sup> Intern. Conf.* — Vancouver, 1998. — Copyright 1998 ENECO. — Inc. Salt Lake City, Utah. — USA, 1998. — P. 441—446.
- Chernov I.P., Nikitenkov N.N., Puchkareva L.N., Kolobov Yu.R. Change Isotopic Composition of Palladium and Titanium induced by Hydrogen Isotopes // *Science and Technol.: Abstracts the Second Russian-Korean Intern. Symp.* — Tomsk, 1998. — P. 164.
- Чернов И.П., Никитенков Н.Н., Кренинг М., Баумбах Х. Исследования процессов в металлах при насыщении водородом // XXVIII Междунар. конф. по физике взаимодействия заряженных частиц с кристаллами: Тез. докл. — М.: МГУ, 1998. — С. 116.
- Чернов И. П., Никитенков Н. Н., Кренинг М., Баумбах Х. Изменение изотопного состава лития в тонкопленочных структурах при насыщении водородом // XXVIII Междунар. конф. по физике взаимодействия заряженных частиц с кристаллами: Тез. докл. — М.: МГУ, 1999. — С. 131.
- Chernov I.P., Nikitenkov N.N., Puchkareva L.N. et al. Changes in Isotopic Composition of Metals Enriched in Hydrogen // *Russian Phys. Journ.* — 1999. — V. 42. — № 4. — P. 947—951.
- Чернов И.П., Никитенков Н.Н., Кренинг М., Баумбах Х. Изменения изотопного состава лития в тонкопленочных структурах при насыщении водородом // *Известия РАН, сер. Физическая.* — 2000. — Т. 64. — № 11. — С. 2181—2185.
- Чернов И.П., Никитенков Н.Н., Кренинг М., Баумбах Х. Исследования механизма изменения изотопного состава металлов при насыщении водородом // *Известия Томского политехнического университета.* — 2000. — Т. 303(3). — № 11. — С. 62—71.
- Пучкарева Л.Н., Чернов И.П., Никитенков Н.Н. Исследования изменений изотопного состава меди при ионной имплантации меди в никель // *Ion-Surface Interaction: Mater. XV Междунар. конф.* — Звенигород, 27—31 августа 2001 г. — М., 2001. — Т. 2. — С. 178—183.
- Никитенков Н.Н., Чернов И.П., Пучкарева Л.Н. Изотопные эффекты при ионной имплантации и других воздействиях на поверхность // *Физика взаимодействия заряженных частиц с кристаллами: Тез. докл. XXXII Междунар. конф.* — М.: МГУ, 2002. — С. 155.
- Пучкарева Л.Н., Чернов И.П., Никитенков Н.Н. Изменения изотопного состава меди при ионной имплантации в никель // *Известия РАН, сер. Физическая.* — 2002. — Т. 66. — № 8. — С. 1219—1222.
- Гангрский Ю.П., Марков Б.Н. Ядра в лучах лазера. — М.: Знание, 1984. — 64 с.
- Физическая энциклопедия. — М.: Советская энциклопедия, 1990. — Т. 2. — С. 121.
- Никитенков Н.Н. Теоретические и экспериментальные исследования энергетических распределений вторичных ионов при распылении мишеней сложного состава ионами килоэлектронвольтных энергий: Автореф. дис. ... канд. физ.-мат. наук. — М.: МГУ, 1987. — 17 с.
- Smith D.P. Analysis of surface composition with low-energy backscattered ions // *Surf. Sci.* — 1971. — V. 25. — P. 171—191.
- Erikson R.I., Smith D.P. Electronic processes in low-energy ion-surface scattering // *Phys. Rev. Lett.* — 1975. — V. 34. — P. 297—300.
- Tolk N.H., Tully J.C., Kraus J. et al. Angular dependence of oscillatory structure in low-energy ion-surface scattering // *Phys. Rev. Lett.* — 1976. — V. 36. — P. 747—750.
- Аксенов А.И., Бугаев С.П., Емельянов В.А. и др. Получение широкоапертурных пучков ионов металлов // *Приборы и техника эксперимента.* — 1987. — № 3. — С. 139—142.